九州・四国地方における台風性豪雨の発生頻度とエルニーニョ・南方振動

独立行政法人 防災科学技術研究所 正会員 東博紀 独立行政法人 防災科学技術研究所 非会員 松浦知徳

1. はじめに

近年,地球温暖化やエルニーニョ・南方振動(ENSO)などグローバルスケールにおける気候変動が問題と なっており、世界各地で相次いで発生している異常気象および洪水・渇水災害はその影響ではないかと懸念さ れている、気候変動への対策を考慮した水工・水資源計画を策定するためには、気候変動を的確に将来予測 し、気候変動による各地域の水文素過程への影響を明確にする必要がある、本研究では、九州・四国地方を対 象として各地で1961~2002年に発生した豪雨の気象要因を調べるとともに,台風性豪雨の発生頻度とENSO の関係について検討した.

2. 豪雨発生の気象要因

本研究では,1961~2002年の29地点 (図1)における気象台・測候所の地上観測 2日間雨量を統計資料とした.各地点の 2日間雨量を大きい順に並べたときの上 位 100 降雨を豪雨と見なし, 各豪雨の発 生要因を気象庁刊行の気象要覧を用いて 調べた.なお,日本における豪雨は様々 な因子が複雑に関係して発生しているこ とが知られているが,ここでは台風性豪 雨(台風・熱帯低気圧の接近・上陸,そ れによる前線の刺激を含む)とそれ以外 (温帯低気圧・前線の通過・停滞など)の 2つに大別した.

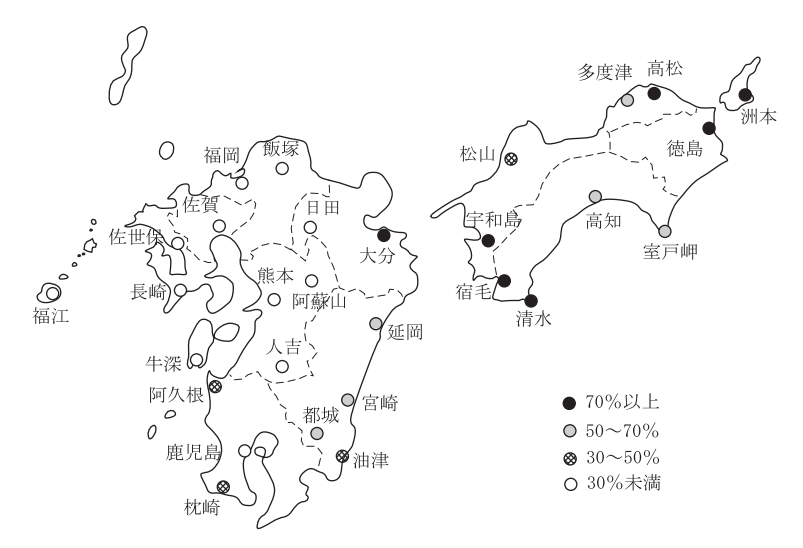


図 1: 気象台・測候所の位置および各観測地点における上位資料年 数分の降雨のうち台風性豪雨が占める割合

図 1に各観測地点の上位資料年数分 (42個)の降雨のうち台風性豪雨が占める割合を示す. 九州山脈を境に して東側では豪雨の発生は主として台風・熱帯低気圧を原因とするもの,西側では温帯低気圧・前線の通過・ 停滞によるものであり、地域によって豪雨の発生要因が異なることが分かる、

3.ENSOと台風性豪雨の発生頻度の関係

ENSOによる気候への影響はこれまでに多くの地域を対象に議論されており、日本についても台風の発生個 数や移動経路が変化するなど多くの影響が認められている $^{1),2)}$.

図 1に示してある上位資料年数分の降雨のうち台風性豪雨が50%以上を占める13地点対象において,各 地点の2日間雨量が大きい上位資料年数分の台風性豪雨を抽出した.規格化したSOI, Niño 3+4海域におけ るSSTを用いて表される $\alpha=(\mathrm{SSTA}-\mathrm{SOI})/2$ を ENSO の指標 3 とし,抽出した資料を α の大きさによって series $1:\alpha<-0.67$, series $2:-0.67<\alpha<0.0$, series $3:0.0<\alpha<0.67$, series $4:0.67<\alpha$ の4つに大別した. この分類では, SOIとSSTの相関関係を考慮すると, series 1はラニーニャ現象, series 4はエルニーニョ現象 発生年と概ね判断される.

各 series の閾値超過台風性豪雨の平均年生起回数を求めた結果を表 1に示す. Series 1 および 3 ではほとんど の地点で平均年生起回数が 1.0を超えており,台風性豪雨が多く発生しているが, series 2では全ての地点で 平均年生起回数 1.0 を超えず,台風性豪雨の発生数が少ない傾向にあることが明らかになる.

表 1: 閾値超過台風性豪雨の平均年生起回数

		年数(年)	洲本	徳島	高松	多度津	室戸岬	高知	清水	宿毛	宇和島	大分	延岡	宮崎	都城	平均			
観測値	Series 1	9	1.22	1.11	1.00	1.33	1.56	1.44	1.33	0.89	1.33	1.00	0.89	1.22	1.33	1.21			
	Series 2	12	1.00	0.58	0.83	0.42	0.42	0.83	0.42	0.75	0.42	0.58	0.83	0.67	0.67	0.65			
	Series 3	8	1.25	1.38	1.25	1.50	1.63	1.00	1.63	1.25	1.38	1.50	1.63	1.38	0.88	1.36			
	Series 4	13	0.69	1.08	1.00	1.00	0.77	0.85	0.92	1.15	1.08	1.08	0.85	0.92	1.15	0.96			
計算値	Series 1	2032	0.78	0.84	1.07	1.11	1.02	1.01	0.83	0.93	1.07	1.08	1.07	0.85	0.86	0.96			
	Series 2	2813	1.08	0.84	0.93	0.61	0.77	0.92	1.12	0.84	0.97	0.86	0.95	1.21	1.15	0.94			
	Series 3	3280	1.03	1.21	1.03	1.15	1.30	1.14	1.09	1.05	1.02	1.07	0.99	1.05	0.99	1.09			
	Series 4	1875	1.06	1.05	0.98	1.20	0.80	0.86	0.85	1.23	0.93	1.00	1.01	0.78	0.94	0.98			

4. 台風性豪雨の年生起回数と ENSO の周期変動特性

ENSOの指標であるSOIとSSTおよび閾値超過台風性豪雨の年生起回数をそれぞれスペクトル解析を行い,ENSOと台風性豪雨の発生頻度の関係を調べた.SOI,SSTおよび各観測地点における閾値超過台風性豪雨の年生起回数で検出された周期は,資料年数が少ないため,いずれも統計的には有意とは見なせなかったが,見

表 2: スペクトル解析により検出された周期(太字は有意水準1%で有意)

	周期(年)													
SOI				6	.1	4.8	4.1	3.6		2.8	2.5		2.1	
Niño 3						4.9		3.6		2.8 2.	6	2.3	2.1	
Niño 4		12		6	.1	4.9		3.6		2.8	2.5		2.1	
平均	43	12	8.5		5.8	4.7		3.6		2.7			2.2	
洲本	64		7.	5	;			3.6	3.0	2.6		2.3 2.2		
徳島	64	16		6.7		4.6		3.6	3.0	2.7			2.2	
高松	43	12	8.0		5.6	4.7		3.7		2.7		2.3		
多度津	64	12	8.0		5.6	4.7		3.6			2.5	2.3		
室戸岬		12	8.5			4.7		3.7		2.8	2.5		2.2 2.1	
高知	32	12			5.6	4.6				2.7	2.5	2.3	2.2	
清水		13	9.1		5.8				3.1	2.7	2.	4	2.2	
宿毛		12	8.5		5.8			3.6	3.0	2.7	2.	4		
宇和島			8.0		5.6	4.7		3.5		2.7	2.5	2.3		
大分		12			5.6					2.7	2.	4	2.2	
延岡	32	16	8.5	6.4						2.7	2.	4	2.2	
宮崎	32		9.1			4.7			3.2	2.7	2.5		2.1	
都城			9.1	6.7			3.9	3.6	3.2 3.0	2.7 2	.6			

かけ上強く検出された周期を表 2に示す.SOI,SST および各観測地点の閾値超過台風性豪雨の年生起回数には $2.1 \sim 2.5$, $2.6 \sim 2.8$, $3.5 \sim 3.7$, $4.6 \sim 4.9$ 年など共通する周期が多く見られる.角屋・小池 $(1965)^{4}$ は日本の年最大日雨量には $2 \sim 4$ 年周期が強く表れることを指摘しているが,閾値超過台風性豪雨の年生起回数についてもこれと同様の結果が得られていることが分かる.また,全観測地点における閾値超過台風性豪雨の年生起回数の平均値を地域の代表値とみなし,同様にスペクトル解析を行って得られた周期を表 2 に併示する.SOI および SST とほぼ同じ 2.7,3.6,4.7,5.8 年周期が 1 %の有意水準で有意と見なされて検出されている.九州・四国地方の台風性豪雨の発生頻度は ENSO と関係があるといえる.

スペクトル解析で得られた変動周期を用いて SOI , SST および閾値超過台風性豪雨の年生起回数の時系列データを 10000 年分模擬発生させ , ENSO と台風性豪雨の発生頻度の関係を調べた結果を表 1に併示する . 観測値ほど顕著ではなくなったが , 観測値と同様に台風性豪雨は series 3 に最も発生しやすい , series 2 に発生しにくい結果が得られている .

5.まとめ

- 1. 九州山脈より東側の九州地方および四国地方では豪雨は台風・熱帯低気圧の接近・上陸が,西側では温帯低気圧・前線の通過・停滞が主な原因である.
- 2. 閾値超過台風性豪雨の年生起回数の時系列には 2.7, 3.6, 4.7, 5.8 年の SOI および SST の時系列と同じ 変動周期がある.
- 3. 台風性豪雨の発生数は series 3 に最も多く, series 2 に最も少ない. 台風性豪雨の発生頻度は ENSO と関係がある.

参考文献

1) Lander, M.A.:An exploratory analysis of the relationship between tropical storm formation in the North Pacific and ENSO, Mon. Wea. Rev., Vol. 121, pp. 636-651, 1994. 2) Yumoto, M. and Matsuura, T.: Interdecadal variability of tropical cyclone activity in the western North Pacific, J. Meteor. Soc. Japan, Vol. 81, pp. 1069-1086, 2003. 3) He, Y., Barnston, A.G. and Hilton, A.C.:A Precipitation Climatology for Stations in the Tropical Basin; Effects of ENSO, NCEP/Climate Prediction Center ATLAS No. 5, 1998. 4) 角屋 睦,小池 達男:降水量に見られる長期変動について、京都大学防災研究所年報,第8号,pp. 307-315,1965.